

ИК-ФРАГМЕНТАЦИЯ КЛАСТЕРОВ МОЛЕКУЛЫ C_2H_5Cl

*В.М.Акулин, В.Д.Вурдов, Н.В.Карлов,
Д.Г.Месропян, А.М.Прохоров, А.Л.Сабиров, Э.М.Хохлов*

Экспериментально исследована эволюция спектра ИК-поглощения при переходе газ-конденсированное состояние в процессе кластеризации молекул C_2H_5Cl . Получены спектральные зависимости сечений ИК-поглощения и распада димеров и тримеров этой молекулы в газодинамически охлажденном сверхзвуковом молекулярном пучке. Измерены времена внутрикластерной релаксации молекулярных колебаний ν_9 и ν_8 в димерах и тримерах этой молекулы.

В работе сообщается о наблюдении спектра ИК-лазерной диссоциации димеров и тримеров молекулы C_2H_5Cl в области линейного поглощения газовой и жидкостной фазы этого вещества. Многофотонное поглощение молекулы C_2H_5Cl изучалось ранее¹.

Основными компонентами экспериментальной установки² являются время-пролетный масс-спектрометр³, $TEA - CO_2$ лазер, аппаратура контроля частоты и энергии лазерного излучения и временных параметров измерительного цикла системы. Дополнительно используются импульсный источник сверхзвуковой молекулярной струи ($\tau_{имп} \approx 300$ мкс), блок скиммеров, формирующий в зоне ионного источника молекулярный пучок с сечением 4×15 мм, трехканальная КАМАК-система регистрации заряда в заданном масс-пике и энергетический фильтр ионного пучка, позволяющий реализовать измерения методом задерживающего потенциала⁴, а также стробировать детектор по времени выбранного масс-пакета.

Измерительный цикл системы включал в себя стадии формирования импульсного молекулярного пучка, его поперечного облучения и масс-спектрального анализа облученной зоны. Статистический набор данных состоял из 20 измерительных циклов.

Давления в ресивере и ионном источнике составляли, соответственно, 500 торр и 10^{-7} торр. Число Маха, температура и скорость пучка составляли $M \approx 11$, $T \approx 30$ К, $V \approx 560$ м/с. При этом в молекулярном пучке шириной, равной 4 мм наблюдается конденсация, соответствующая появлению димеров и тримеров, сконцентрированных в осевой плоскости пучка с шириной профиля равной 1 мм. Указанная область пучка является объектом, из которого были получены спектральные данные по сечениям распада кластеров.

Процедура получения сечений распада димеров и тримеров C_2H_5Cl заключалась в следующем. Экспериментально измерялась зависимость доли непродиссоциировавших кластеров (Q_{\perp}/Q_0) от плотности энергии излучения Φ_{\perp} на каждой линии CO_2 лазера. Некоторые из этих зависимостей, соответствующие центру и крылу поглощения кластеров в "красной" (газ, ν_9) и "голубой" (жидкость, ν_8) области спектра линейного поглощения C_2H_5Cl приведены на

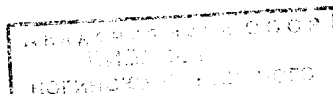


рис. 1. В случае линейного поглощения лазерного излучения логарифм этой величины должен быть пропорционален энергии лазерного импульса. Поэтому сечения распада кластеров определялись по наклону прямых, проведенных методом наименьших квадратов через точки зависимости $\ln(Q_0/Q_{\text{п}})$ от $\Phi_{\text{п}}$. Как видно из рис. 1, некоторые из полученных зависимостей име-

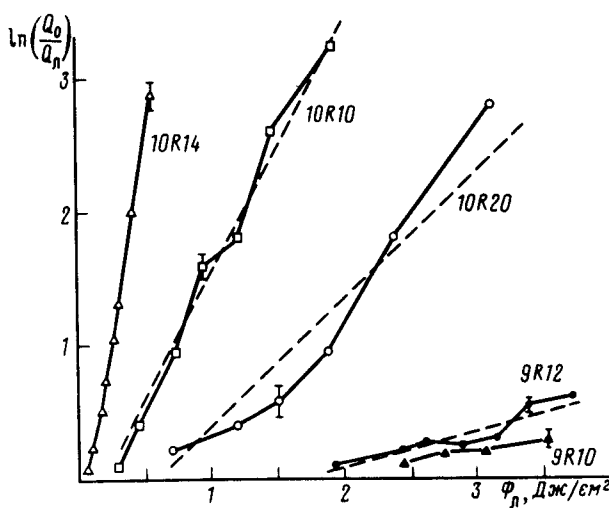


Рис. 1. Зависимости доли нераспавшихся димеров $Q_0/Q_{\text{п}}$ от плотности энергии $\Phi_{\text{п}}$ лазерного излучения для некоторых линий CO₂ лазера в координатах $\ln(Q_{\text{п}}/Q_0)$, Φ : \square – 10R10, \triangle – 10R14, \circ – 10R20, \circ – 9R12, \blacktriangle – 9R10

ют точки не ложащиеся на проведенные прямые даже с учетом статистики измерений. Если исключить возможность долговременных аппаратурных флуктуаций, не учитываемых в статистической обработке результатов измерений, то объяснение этого явления заключается в следующем. В спектре линейного поглощения кластера в границах широкого лоренцевского контура могут существовать узкие пички, обусловленные долгоживущими состояниями кластера. Их спектральное положение может меняться в сильном поле за счет квадратичного штарк-эффекта. Перемещаясь относительно лазерной линии при изменении интенсивности поля, они могут вызывать наблюдаемые изменения сечения. Линейная аппроксимация зависимости $\ln(Q_0/Q_{\text{п}}) \sim \Phi_{\text{п}}$ устраняет влияние такого эффекта. Отметим также отклонение прямых от начала координат, обусловленное, по-видимому, увеличением заряда в масс-пиках димера и тримера в области малых $\Phi_{\text{п}}$, в которой распад незначительного количества n -меров превалирует над диссоциацией M_2 и M_3 .

На рис. 2 приведены сечения распада кластеров (C₂H₅Cl)₂ и (C₂H₅Cl)₃ в зависимости от частоты лазерного поля. Ширина спектра определяется самым коротким временем релаксации – временем внутрекластерной релаксации энергии возбужденной моды. В отличие от авторов работы⁵, мы считаем, что ширина полученного спектра несет в себе информацию о характерном времени именно этого процесса, а не о времени преддиссоциации кластера, которое может быть существенно более длинным. Эти времена для димеров τ_d составляют $1,4 \cdot 10^{-12}$ и $1,8 \cdot 10^{-12}$ с, соответственно в областях ν_9 и ν_8 . Аналогично для тримеров время τ_t составляет $2 \cdot 10^{-12}$ и $1,7 \cdot 10^{-12}$ с. Как видно из рисунка увеличение числа молекул n в кластере сопровождается сдвигом резонансного поглощения в длинноволновую область и увеличением $\sigma \sim n$. Эволюция частотных зависимостей в области, соответствующей дипольно слабо активной моде ν_8 молекулы или, стрирует формирование спектра дипольного поглощения в процессе кластеризации молекул газа за счет изменения симметрии объекта.

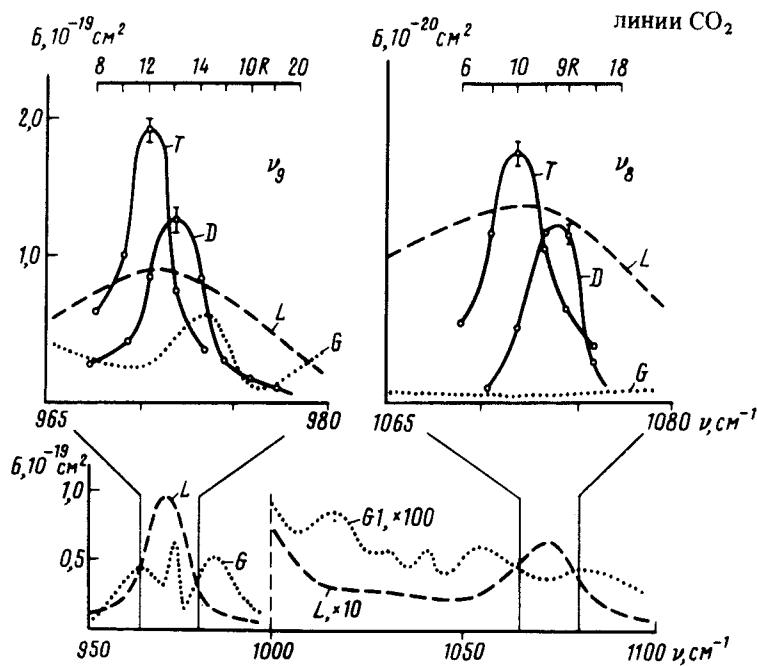


Рис. 2. Спектральные зависимости сечения распада димера D и тримера T в полосах ν_9 и ν_8 . L – данные⁶ по линейному поглощению в жидкой фазе для толщины слоя $\Delta = 60$ мк и $\Delta = 200$ мк. $G1$ – то же для газовой фазы в условиях $P = 525$ торр, $\Delta = 69$ см; G – спектр поглощения газовой фазы в условиях $P = 30$ торр, $\Delta = 10$ см

В заключение авторы выражают признательность В.Г.Щебелину и Б.Н.Козлову за помощь в отладке аппарата и полезные обсуждения, а также М.Г.Езерницкой за проведение фурье-спектрального анализа вещества.

Литература

1. Акулин В.М. и др. Хим. физ., 1987, 6, 310.
2. Акулин В.М. и др. Письма в ЖЭТФ, 1987, 46, 92.
3. Иванов М.А., и др. ЖЭТФ, 1983, 53, 2039.
4. Fox E. Rev. Sci. Instrum., 1955, 26, 1101.
5. Casassa M.P. et al. J. Chem. Phys., 1981, 24, 5044.
6. Daash L. W. et al. J. Chem. Phys., 1954, 22, 1293.

Институт общей физики Академии наук СССР
Московский физико-технический институт

Поступила в редакцию
7 сентября 1989 г.